

# 電位丘模型模擬 $\alpha$ 質點運動的探討

高中組物理科第三名

台南一中

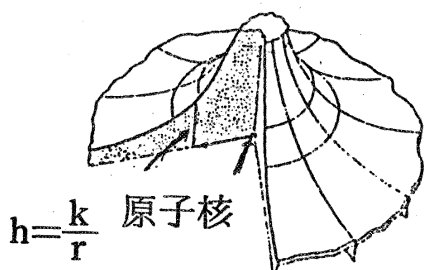
作 者：陳炳宏

指導教師：林水華、蕭權利

## 一、研究動機

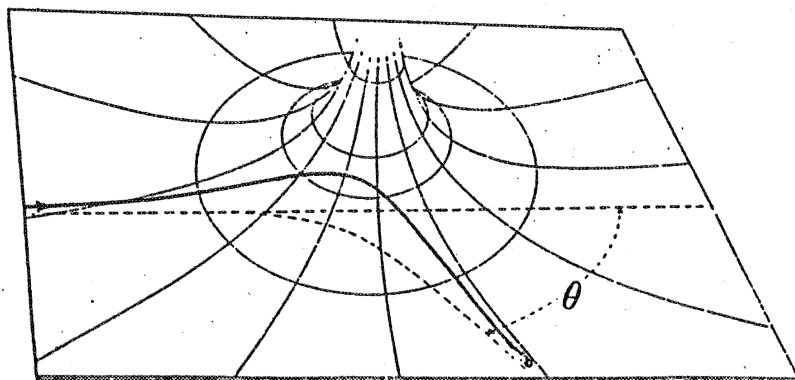
在研究 $\alpha$ 質點靠近原子核時運動的軌跡，通常以丘狀曲面如下圖模擬原子核所建立的電場位能曲面，另取一鋼球彈向此丘，代表 $\alpha$ 質點的運動情形。物理課本上曾提到“鋼球在曲面上滾過的軌跡，自然是一個三度空間的曲線，而此曲線在其底平面上的射影，即代表 $\alpha$ 質點在原子核電場中運動的軌跡”（請參考以下附錄），我們不禁要問如此射影下來的曲線軌跡真的是正確嗎？引起我們以下的討論。

附錄（節錄自參考資料(2)，P 276 ~ 278）：



左圖用以說明 $\alpha$ 質點當靠近原子核時所循路徑之丘狀曲面， $\alpha$ 質點具有之位能與 $r$ 成反比， $r$ 為離原子核之距離。製造此丘面時應使面上任何點之高度與 $r$ 成反比。 $r$ 亦為在丘面上點離丘面中心線之距離，因此，在丘上之滾動之小鋼球所具有之重力位能與 $r$ 成反比。如此，則鋼球運動時的能量即與電荷在原子核電場內運動的 $\alpha$ 質點的能量變化情況相似，而此運動軌跡在丘底平面上的射影，即與 $\alpha$ 質點在原子核電場中運動的軌跡相類似。

下圖中實線表示小鋼球在代表庫侖電場之位能的“丘狀曲面”上滾動之可能路徑，丘底平面上之虛直線表示小鋼球最初瞄準方向。若自丘頂正上方俯視此丘狀曲面，則所見之鋼球經過路徑即代表一 $\alpha$ 質點在原子核電場中之運動路徑，此路線即圖中平面上之虛曲線。



## 二、研究目的

- (一) 說明電位丘模型模擬  $\alpha$  質點運動軌跡的不正確。
- (二) 找出鋼球在電位丘上運動軌跡的底平面射影與實際上  $\alpha$  質點運動軌跡的差異。
- (三) 數值分析與討論。
- (四) 證明此種能正確模擬  $\alpha$  質點軌跡的模型不存在。

## 三、研究設備器材

設備：APPLE II

語言：APPLESOFT

## 四、研究過程

### (一) 理論推導過程：

我們先規定模擬  $\alpha$  質點運動軌跡的模型必須具備的條件：

1. 鋼球在曲面上運動。
2. 不論初始條件為何，此模型必須都能適用。
3. 鋼球與曲面不計摩擦。
4. 在均勻重力場上做模擬，重力場強度為定值。

### (二) 符號規定：

$$\hat{r} = (\cos \theta, \sin \theta, 0)$$

$$\hat{\theta} = (-\sin \theta, \cos \theta, 0)$$

$$\hat{z} = (0, 0, 1)$$



現在導出鋼球運動方程式

1.因電位丘對鋼球所施的正向力恒在切面的法線方向上，又若

$f(r, \theta, z) = z - \frac{k}{r}$ ，則  $\nabla f = \frac{k}{r^2} \hat{r} + \hat{z}$ ，所以在  $\hat{\theta}$  方向上無分量，也就是①式中的  $\hat{\theta}$  項的係數為 0

$$\text{即 } 2\dot{r}\dot{\theta} + r\ddot{\theta} = \frac{1}{r} \frac{d(r^2\dot{\theta})}{dt} = 0$$

此式表示鋼球對中心軸的角動量守恒，

$$L = \mu r^2 \dot{\theta}，\text{其中 } \frac{\partial L}{\partial t} = 0，L \text{ 與時間無關}$$

2.由以上討論且由  $U_g = U_e = \frac{W}{r}$  代入①，②式

$$\text{得 } \vec{V}_s = \dot{r}\hat{r} + \frac{L}{\mu r}\hat{\theta} - \frac{k}{r^2}\dot{r}\hat{z}$$

$$\vec{a}_s = \left( \ddot{r} - \frac{L^2}{\mu^2 r^3} \right) \hat{r} + \left( \frac{2k}{r^3} \dot{r}^2 - \frac{k}{r^2} \ddot{r} \right) \hat{z}$$

$$\text{力學能 } E_s = \frac{1}{2} \mu \left( \dot{r}^2 + \frac{L^2}{\mu^2 r^2} + \frac{k^2}{r^4} \dot{r}^2 \right) + \frac{W}{r}$$

$$\text{整理移項得 } r^2 = \frac{E_s - \frac{W}{r} - \frac{L^2}{2\mu r^2}}{\frac{1}{2} \mu \left( 1 + \frac{k^2}{r^4} \right)} \cdots \cdots \cdots \text{⑥}$$

改  $r$  為  $\theta$  的函數

$$\begin{aligned} & \frac{E_s - \frac{W}{r} - \frac{L^2}{2\mu r^2}}{\left( \frac{dr}{d\theta} \right)^2} \\ & \left( \frac{dr}{d\theta} \right)^2 = \frac{\left( \frac{dr}{dt} \right)^2}{\left( \frac{d\theta}{dt} \right)^2} = \left( \frac{\dot{r}}{\dot{\theta}} \right)^2 = \frac{\frac{1}{2} \mu \left( 1 + \frac{k^2}{r^4} \right)}{\frac{L^2}{\mu^2 r^4}} \\ & = \frac{r^2 \left( \frac{2\mu E_s}{L^2} \cdot r^2 - \frac{2\mu W}{L^2} \cdot r - 1 \right)}{\left( 1 + \frac{k^2}{r^4} \right)} \end{aligned}$$

可看出軌跡具有對稱性，有對稱軸

$$\int \frac{\sqrt{(1 + \frac{k^2}{r^4}) \cdot dr}}{r \cdot \sqrt{\frac{2\mu E_s}{L^2} r^2 - \frac{2\mu W}{L^2} r - 1}} = \theta - \theta_0 \dots \dots \dots \quad (7)$$

3. 同理現在也導出  $\alpha$  質點之運動方程式以資比較。軌跡方程式：

$$\int \frac{dr}{r \sqrt{\frac{2\mu E_\alpha}{L^2} r^2 - \frac{2\mu W}{L^2} r - 1}} = \theta - \theta_0 \dots \dots \dots \quad (8)$$

由⑦⑧兩式可看出差了  $\sqrt{1 + \frac{k^2}{r^4}}$  一項

4. 為了確定導出的方程式無誤，我們再以 Hamilton's principle 建立鋼球的 Lagrange function 導運動方程式

由②式  $L_a = E_k - U_g = \frac{1}{2} \mu (\dot{r}^2 + r\dot{\theta}^2 + \dot{z}^2) - \mu g z$

限制方程式  $F(r, \theta, z) = z - \frac{k}{r} = 0$

得聯立偏微分方程組

$$\begin{cases} \frac{\partial L_a}{\partial r} - \frac{d}{dt} \left( \frac{\partial L_a}{\partial \dot{r}} \right) + \lambda(t) \frac{\partial F}{\partial r} = 0 \\ \frac{\partial L_a}{\partial \theta} - \frac{d}{dt} \left( \frac{\partial L_a}{\partial \dot{\theta}} \right) + \lambda(t) \frac{\partial F}{\partial \theta} = 0 \\ \frac{\partial L_a}{\partial z} - \frac{d}{dt} \left( \frac{\partial L_a}{\partial \dot{z}} \right) + \lambda(t) \frac{\partial F}{\partial z} = 0 \end{cases}$$

$\lambda(t)$  為 Lagrange undetermined multiplier

$$\Rightarrow \begin{cases} \mu r\dot{\theta}^2 - \mu\ddot{r} + \lambda(t)\frac{k}{r^2} = 0 \\ \frac{d}{dt}(\mu r^2\dot{\theta}) = 0 \Rightarrow \text{令 } L = \mu r^2\dot{\theta} \\ -\mu g - \mu\ddot{z} + \lambda(t) = 0 \end{cases} \quad \begin{array}{l} ⑨ \\ ⑩ \\ ⑪ \end{array}$$

及  $z = \frac{k}{r}$  四條方程式 解  $r(t), \theta(t), z(t), \lambda(t)$

由⑤⑥⑩⑪式代入⑨式可得

$$\ddot{r} = \frac{\frac{\mu W}{r^2} + \frac{L^2}{r^3} + \frac{4\mu k^2 E_s}{r^5} - \frac{3\mu k^2 W}{r^6} - \frac{k^2 L^2}{r^7}}{\mu^2 \left(1 + \frac{k^2}{r^4}\right)^2} \quad ⑫$$

另外  $\ddot{r}$  可由  $\frac{dr}{dt}$  獲得即，由⑥式  $\ddot{r} = \frac{1}{2r} \cdot \frac{d(r^2)}{dt}$

$$= \frac{\frac{\mu W}{r^2} + \frac{L^2}{r^3} + \frac{4\mu k^2 E_s}{r^5} - \frac{3\mu k^2 W}{r^6} - \frac{k^2 L^2}{r^7}}{\mu^2 \left(1 + \frac{k^2}{r^4}\right)^2}$$

兩種方法所得之  $\ddot{r}$  完全一樣，可知方程式無誤。

## 五、研究結果

數值分析電腦程式所計算出來的運動路徑（見後）

## 六、討 論

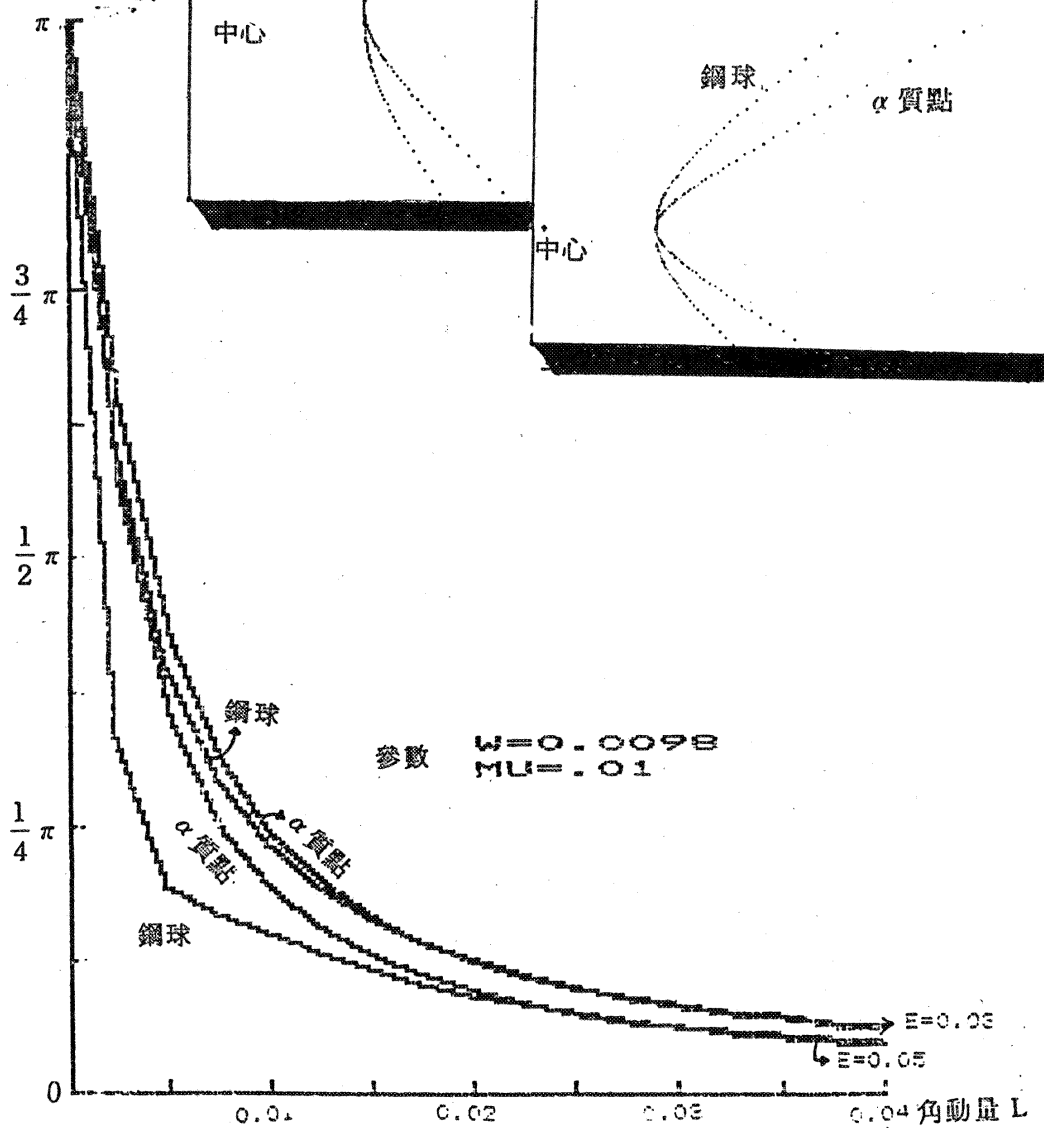
(一)由①⑫式知道水平上的分力為

$$\vec{F}_x(r) = (\mu\ddot{r} - \frac{L^2}{\mu r^3}) \hat{r}$$

$$= \frac{W r^6 + 4 E_s k^2 r^3 - 3 W k^2 r^2 + \frac{k^2 L^2}{\mu} r - \frac{L^2 k^2}{\mu r^3}}{(r^4 + k^2)^2} \hat{r}$$

但已知水平分力必為正  $\hat{r}$  的方向，即  $\vec{F}_x(r) > 0$ ，若  $\vec{F}_x(r) \leq$

散射角比較





也就是受  $\vec{F} = \frac{W}{r^2} \hat{r}$  的質點的相對運動軌跡，不能以鋼球在  $z = z(r)$  曲面上滾動軌跡的射影加以正確描述。

## 八、參考資料

- (一)大學物理(1)(2)(3) 東華書局印行，李怡嚴著，七十四年二月十四版。
- (二)高級中學物理下冊 東華書局印行，吳友仁著，六十七年一月五版。
- (三)什麼是微積分 建興出版社，張鏡清譯，七十三年八月再版。
- (四)高中數學實驗教材 第五冊 六十七年八月五版。
- (五)古典動力學 徐氏基金會出版，冉長壽譯 六十五年十二月再版。

## 評 語

- 1.對於質點運動，能從基本力學作深入探討。
- 2.觀察仔細，對於習用的模型提出異議，從不同角度討論，並作模擬分析。